

МИНИСТЕРСТВО СТРОИТЕЛЬСТВА ПРЕДПРИЯТИЙ
НЕФТЯНОЙ И ГАЗОВОЙ ПРОМЫШЛЕННОСТИ

ВСЕСОЮЗНЫЙ НАУЧНО-ИССЛЕДОВАТЕЛЬСКИЙ ИНСТИТУТ
ПО СТРОИТЕЛЬСТВУ МАГИСТРАЛЬНЫХ ТРУБОПРОВОДОВ
ВНИИСТ

1-й 2001

руководство

ПО РАСЧЕТУ ОСНОВНЫХ ПАРАМЕТРОВ
ЗАПОЛНЕНИЯ ГАЗОПРОВОДОВ ГАЗОМ
для испытания

Р 401-80

Москва 1981

МИНИСТЕРСТВО СТРОИТЕЛЬСТВА ПРЕДПРИЯТИЙ
НЕФТЯНОЙ И ГАЗОВОЙ ПРОМЫШЛЕННОСТИ

ВСЕСОЮЗНЫЙ НАУЧНО-ИССЛЕДОВАТЕЛЬСКИЙ ИНСТИТУТ
ПО СТРОИТЕЛЬСТВУ МАГИСТРАЛЬНЫХ ТРУБОПРОВОДОВ
ВНИИСТ

руководство

ПО РАСЧЕТУ ОСНОВНЫХ ПАРАМЕТРОВ
ЗАПОЛНЕНИЯ ГАЗОПРОВОДОВ ГАЗОМ
для испытания

Р 401-80

Москва 1981

УДК 622.691.47.001.2

В настоящем Руководстве изложена методика расчета газодинамических параметров при заполнении газопроводов диаметрами 1020, 1220 и 1420 мм природным газом для испытаний, приведены программа *ASTRA* для расчета на ЭВМ БЭСМ-6 процесса заполнения газопровода и приближенный аналитический метод расчета.

Руководство разработано на основе теоретических исследований и натурных наблюдений при испытаниях магистральных газопроводов лабораторией надежности конструкций и методов испытаний магистральных трубопроводов ВНИИСТА совместно с лабораторией экономического анализа проектных решений в нефтегазовом строительстве НИПИЭСУ нефтегазстрой.

Руководство предназначено для инженерно-технических работников проектных и строительных организаций, занятых организацией и производством работ по испытаниям газопроводов.

Руководство составили инженеры Ю.В.Колотилов, Е.М.Климоновский, А.И.Тоут (ВНИИСТ), канд.техн.наук Б.Л.Кривомеин, канд.хим.наук Е.Я.Клименков, канд.техн.наук В.М.Агапкин, инж.М.Я.Куракина (НИПИЭСУ-нефтегазстрой). В составление Руководства принимали участие д-р техн.наук П.И.Тугунов (Уфимский нефтяной институт), канд.техн.наук В.В.Постников (Главэнергостройбопроводстрой).

© Всесоюзный научно-исследовательский институт по строительству магистральных трубопроводов (ВНИИСТ), 1981

ВНИИСТ НИПИЭСУнф- тегазстрой	Руководство по расчету основных параметров заполнения газопроводов газом для испытания	Р 401-80
------------------------------------	---	----------

I. ОБЩИЕ ПОЛОЖЕНИЯ

I.1. Руководство разработано в развитие глав СНиП II-45-75 "Магистральные трубопроводы. Нормы проектирования" и СНиП II-Д. 10-72 "Магистральные трубопроводы. Правила производства и приемки работ".

I.2. При производстве работ по заполнению магистральных газопроводов природным газом для испытаний следует учитывать требования и положения действующих нормативных документов, относящихся к пневматическому испытанию соответствующих объектов.

I.3. Одним из этапов комплекса работ по пневматическому испытанию является этап заполнения газопровода природным газом до создания в нем давления, необходимого для испытания газопровода на прочность.

I.4. Источником природного газа для испытания магистрального газопровода служат:

месторождения газа, примыкающие к газопроводу или расположенные непосредственно около него;

действующий газопровод, пересекающий строящуюся магистраль или проходящий непосредственно около нее.

I.5. Заполнение газопровода испытательной средой и подъем давления в нем могут производиться как по отдельным участкам, так и по всему объекту(на рис. I приведены принципиальные схемы заполнения магистрального газопровода газом для последующего испытания).

I.6. При пневматическом испытании газопроводов скорость подъема давления в них регламентирована СНиП II-Д. 10-72.

I.7. При испытании на прочность и герметичность для измерения давления применяют манометры класса точности не ниже I,5.

Внесено ЛНИИ ВНИИСТА и ЛЭАДР НИПИЭСУнф- тегазстрой	Утверждено ВНИИСТом 3 июля 1980 г.	Разработано впервые
--	---------------------------------------	------------------------

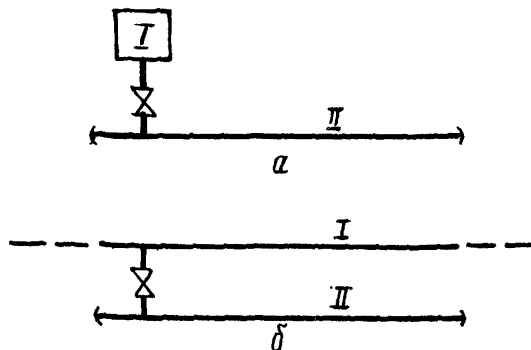


Рис. I. Принципиальная схема заполнения участка магистрального газопровода природным газом для испытания:

а-от промысла; δ-из действующего газопровода; I-источник газа; II-заполняемый участок

2. МЕТОДИКА РАСЧЕТА ГАЗОДИНАМИЧЕСКИХ ПАРАМЕТРОВ ПРИ ЗАПОЛНЕНИИ МАГИСТРАЛЬНЫХ ГАЗОПРОВОДОВ ГАЗОМ ДЛЯ ИСПЫТАНИЙ

МАТЕМАТИЧЕСКАЯ МОДЕЛЬ ПРОЦЕССА ЗАПОЛНЕНИЯ ГАЗОПРОВОДА ГАЗОМ

2.1. Система, описываемая нестационарное неизотермическое течение газа внутри заполняемого газопровода (постоянного диаметра D) имеет следующий вид:

уравнение неразрывности:

$$\frac{\partial \rho}{\partial t} + \frac{\partial (\rho w)}{\partial x} = 0; \quad (1)$$

уравнение импульсов:

$$\frac{\partial (\rho w)}{\partial t} + \frac{\partial}{\partial x} (p + \rho w^2) = -\rho \left(gH' + \frac{\lambda w^2}{2D} \right); \quad (2)$$

уравнение энергии:

$$\frac{\partial}{\partial t} \left[\rho \left(u + \frac{w^2}{2} \right) \right] + \frac{\partial}{\partial x} \left[\rho w \left(u + \frac{p}{\rho} + \frac{w^2}{2} \right) \right] = \frac{4q}{D} + \frac{\partial}{\partial x} \left(\xi \frac{\partial T}{\partial x} \right) - \rho q w H; \quad (3)$$

уравнение состояния:

$$\frac{p}{\rho} = \gamma R T \quad (4)$$

В уравнениях (1) – (4) приняты обозначения:

- P – среднее по сечению трубы давление газа, $\text{Н}/\text{м}^2$;
 ρ – средняя по сечению трубы плотность газа, $\text{кг}/\text{м}^3$;
 w – средняя по сечению трубы скорость газа, $\text{м}/\text{с}$;
 λ – коэффициент гидравлического сопротивления;
 q – плотность теплового потока через стенку трубы, $\text{Вт}/\text{м}^2$;
 T – средняя по сечению трубы температура газа, К ;
 u – удельная внутренняя энергия газа, $\text{м}^2/\text{с}^2$;
 γ – коэффициент сжимаемости газа;
 R – газовая постоянная, $\text{Дж}/\text{кг}\cdot\text{К}$;
 H – геометрическая высота центра тяжести рассматриваемого элемента объема газа, м ;
 g – ускорение свободного падения, $\text{м}/\text{с}^2$;
 D – диаметр заполняемого трубопровода, м ;
 ξ – коэффициент теплопроводности газа, $\text{Вт}/\text{м}\cdot\text{К}$;
 x – координата вдоль оси трубы, м ;
 t – время, с .

2.2. Для получения искомых параметров (давления, температуры и расхода) при заполнении газопровода газом используем нелинейные дифференциальные уравнения (1) – (4), при этом принимаем следующие допущения:

теплопередача вдоль оси трубопровода за счет теплопроводности газа отсутствует;

в уравнениях количества движения и энергии пренебрегаем конвективным членом $W \frac{\partial w}{\partial x}$ и локальной производной $\frac{\partial w}{\partial t}$; не учитываем изменение геометрической высоты H' .

2.3. Закон теплообмена между стенкой трубы и грунтом принимаем в форме Ньютона:

$$q = -k (T - T_{rp}) , \quad (5)$$

где T_{rp} - температура грунта, К;

k - коэффициент теплопередачи от газа в грунт, Вт/м²·К.

2.4. Для определения коэффициента сжимаемости реального газа используем аналитическую зависимость $\Xi = \Xi(P, T)$ типа Берцло, справедливую в закритической области температур и при умеренных давлениях (до $98,1 \cdot 10^5$ Н/м²):

$$\Xi = 1 + 0,07 \frac{P T_{kp}}{P_{kp} T} \left[1 - 6 \left(\frac{T_{kp}}{T} \right)^2 \right] , \quad (6)$$

где P_{kp} - критическое давление газа, Н/м²;

T_{kp} - критическая температура газа, К.

2.5. Коэффициент гидравлического сопротивления λ как функции числа Рейнольдса, диаметра и гидравлической шероховатости определяем по формулам:

$$\lambda = \frac{64}{Re} \quad \text{при } Re \leq 2000; \quad (7)$$

$$\lambda = 0,0025 \cdot (Re)^{\frac{1}{3}} \quad \text{при } 2000 < Re \leq 4000; \quad (8)$$

$$\lambda = 0,3164 \cdot (Re)^{0,25} \quad \text{при } 4000 < Re \leq Re_1; \quad (9)$$

$$\lambda = 0,1 \left(1,46 \frac{K_s}{D} + \frac{100}{Re} \right)^{0,25} \quad \text{при } Re_1 < Re \leq Re_2; \quad (10)$$

$$\lambda = 0,111 \left(\frac{K_s}{D} \right)^{0,25} \quad \text{при } Re_2 < Re , \quad (II)$$

$$Re = \frac{4G}{\pi g \mu D} , \quad (12)$$

$$Re_1 = \frac{59,5}{\left(\frac{2K_3}{D}\right)^{8/7}} ; \quad (13)$$

$$Re_2 = \frac{665 - 765 \cdot \lg\left(\frac{2K_3}{D}\right)}{\frac{2K_3}{D}} , \quad (14)$$

где Re - число Рейнольдса;

Re_1, Re_2 - переходные числа Рейнольдса;

K_3 - эквивалентная гидравлическая шероховатость, м;

μ - коэффициент динамической вязкости, Н·с/м²;

G - расход газа, Н/с.

2.6. Чтобы найти однозначное решение системы уравнений (1) - (4), описывающих процесс заполнения газопровода газом для испытаний, необходимо задать начальные и граничные условия.

В качестве начальных условий в практических расчетах задаем распределение давления (P), температуры (T) и расхода газа (G) по длине газопровода в начальный момент времени:

$$P(x, 0) = P_H, \quad T(x, 0) = T_H, \quad G(x, 0) = G_H . \quad (15)$$

В качестве граничных условий задаем изменение давления и температуры газа в начале заполняемого участка и расхода в конце заполняемого участка в зависимости от времени.

На рис.2 приведен график изменения давления в начале ($x = 0$) заполняемого участка трубопровода. Аналитическую зависимость изменения давления газа во времени принимаем следующей:

$$P(0, t) = \begin{cases} P_H + \alpha t & \text{при } P(0, t) < P_{ucn} , \\ P_{ucn} & \text{при } P(0, t) \geq P_{ucn} , \end{cases} \quad (16)$$

где α - скорость подъема давления в сечении $x = 0$, Н/с·м²;

P_{ucn} - испытательное давление, Н/м²;

P_H - начальное давление газа, Н/м².

Граничное условие для температуры газа в сечении $x = 0$ принимаем в виде:

$$T(0, t) = T_0 - D_i \left[P_0 - P(0, t) \right], \quad (17)$$

где D_i - коэффициент Джоуля-Томсона, $\text{м}^2 \cdot \text{К/Н}$;

P_0 - давление газа в источнике испытательной среды, Н/м^2 ;

T_0 - температура газа в источнике испытательной среды, К .

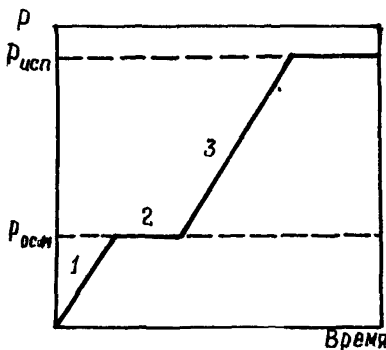


Рис.2. График изменения давления в начале заполняемого трубопровода ($x = 0$):

1-подъем давления до $P_{0сп}$; 2-осмотр трубопровода; 3 - подъем давления до $P_{исп}$

При заполнении замкнутого участка магистрального газопровода граничным условием для расхода газа в конце заполняемого участка будет

$$G(L, t) = 0. \quad (18)$$

2.7. В качестве исходных данных для расчета газодинамика- ческих параметров зададим следующие величины:

L - протяженность заполняемого участка, м ;

D - диаметр заполняемого газопровода, м ;

P_{kp} - критическое давление газа, Н/м^2 ;

T_{kp}	- критическую температуру газа, К;
K_9	- эквивалентную гидравлическую шероховатость, м;
μ	- коэффициент динамической вязкости газа, Н·с/м ² ;
K	- коэффициент теплопередачи от газа в грунт, Вт/м ² ·К;
R	- газовую постоянную, Дж/кг·К;
C_p	- теплоемкость газа при постоянном давлении, Дж/кг·К;
D_t	- коэффициент Джоуля-Томсона, м ² ·К/Н;
$P_{ исп.}$	- испытательное давление, Н/м ² ;
P_{H}	- начальное давление газа в заполняемом участке, Н/м ² ;
T_{gr}	- температуру грунта, К;
P_0	- давление газа в источнике испытательной среды, Н/м ² ;
T_0	- температуру газа в источнике испытательной среды, К;
ω	- скорость подъема давления в сечении $x = 0$, Н/м ² ·с.

Сечение $x = 0$ принимаем за начало заполняемого трубопровода, т.е. сечение $x = 0$ соответствует месту подключения источника испытательной среды, а сечение $x = L$ является концом заполняемого участка.

2.8. Дифференциальные уравнения (1) – (4), описывающие газодинамические процессы, происходящие внутри заполняемого участка газопровода, аппроксимируются замкнутой системой алгебраических соотношений, которая решается при помощи комбинаций явной и неявной схем метода сеток.

Длину заполняемого участка газопровода разбивают на ($N-1$) равных интервалов. В связи с тем, что использована явная схема метода сеток, длина интервалов ограничена, т.е. увеличение числа интервалов ведет либо к неустойчивому вычислительному процессу, либо к существенному увеличению времени машинного счета.

Уравнения движения вместе с начальными и граничными условиями, представленные в разностном виде, образуют систему алгебраических уравнений для каждого момента времени. Последовательное решение этих систем уравнений на каждом шаге по времени позволяет определить значения искомых газодинамических функций P , T , G во всех дискретных точках-узлах по длине трубопровода.

2.9. Алгоритм расчета (прил. I) газодинамических парамет-

ров при заполнении участка магистрального трубопровода газом для последующего испытания построен таким образом, что на первом этапе расчет ведется по явной схеме метода сеток.

Величина расхода газа по длине заполняемого участка постепенно возрастает от нулевого до некоторого значения, при котором можно перейти к абсолютно устойчивому вычислительному процессу по неявной схеме метода сеток.

Окончание расчета соответствует моменту, когда по всей длине трубопровода давление газа будет равно испытательному давлению с учетом погрешности измерительной аппаратуры, т.е.:

$$P(0, L) - P(L, t) = 0,005 \cdot P_{исп} \quad (19)$$

2.10. Расчет газодинамических параметров (давления, температуры, расхода) в процессе заполнения участка магистрального газопровода газом для испытания выполняется по программе *ASTRA*.

РЕАЛИЗАЦИЯ МЕТОДА НА ЭВМ

2.11. Алгоритм программы *ASTRA* и подпрограмм *PROGON*, *F1*, *ALAM* реализован в виде программы на алгоритмическом языке ФОРТРАН для ЭВМ БЭСМ-6 (прил.2).

В программе *ASTRA* приняты следующие обозначения, приведенные в табл. I.

Таблица I

Символы алгоритма	Идентификаторы программы	Наименование параметров и массивов
<i>L</i>	<i>AL</i>	Протяженность заполняемого участка
<i>D</i>	<i>D</i>	Диаметр заполняемого трубопровода
<i>P_{исп}</i>	<i>F1MAX</i>	Испытательное давление
<i>T_{kp}</i>	<i>TC</i>	Критическая температура газа
<i>P_{kp}</i>	<i>PC</i>	Критическое давление газа

Продолжение табл. I

Символ алгоритма	Идентификаторы программы	Наименование параметров и массивов
T_{rp}	TGR	Температура грунта
P_o	$PCEP$	Давление в источнике испытательной среды
T_o	$TCED$	Температура газа в источнике испытательной среды
P_h	PH	Начальное давление газа в заполненном трубопроводе
T_h	TH	Начальная температура газа в заполненном участке газопровода
G_h	GH	Начальный расход газа в заполненном трубопроводе
D_i	DR	Коэффициент Джоуля-Томсона
κ	AK	Коэффициент теплопередачи
λ	$ALAM$	Коэффициент гидравлического сопротивления
ζ	Z	Коэффициент сжимаемости газа
ω	$ALFF$	Скорость подъема давления
γ	Q	Плотность теплового потока через стенку трубы
$P(0, t)$	$P1(x)$	Границочное условие для давления
$T(0, t)$	$P2(x)$	Границочное условие для температуры
$G(L, t)$	$GN(N)$	Границочное условие для расхода
$\left(\frac{\partial Z}{\partial P}\right)_T$	ZP	Вспомогательные функции
$\left(\frac{\partial Z}{\partial T}\right)_P$	ZT	
Re	RE	Числа Рейнольдса
Re_1	$RE1$	
Re_2	$RE2$	
$N-1$	$N-1$	Число интервалов разбиения области интегрирования
h	H	Шаг по координате при численном интегрировании
τ	TAU $TAUN$	Шаги по времени при численном интегрировании

Окончание табл. I

Символ алгоритма	Идентификаторы программы	Наименование параметров и массивов
—	I	Рабочие переменные целого типа
—	J	
—	NT	
—	NP	
—	NPX	

2.12. В программе *ASTRA* (см. прил. 2) приняты следующие значения термодинамических величин (газ - метан):

$R = 515 \text{ Дж/кг}\cdot\text{К}$ - газовая постоянная;

$C_p = 2930 \text{ Дж/кг}\cdot\text{К}$ - теплоемкость газа при постоянном давлении;

$P_{kp} = 44,5 \cdot 10^5 \text{ Н/м}^2$ - критическое давление газа;

$T_{kp} = 190,7 \text{ К}$ - критическая температура газа;

$D_i = 4,08 \cdot 10^{-6} \text{ м}^2\cdot\text{К/Н}$ - коэффициент Джоуля-Томсона.

2.13. При заполнении трубопровода природным газом с другими термодинамическими характеристиками необходимо изменить коэффициенты $A1$, $A2$, $A3$, $A4$, $A5$ в соответствии с формулами:

$$A1 = \frac{2R\lambda}{\pi^2 g^2 D^5}; \quad (20)$$

$$A2 = \frac{\pi g D^2}{4R}; \quad (21)$$

$$A3 = \frac{4R^2}{\pi g C_p D^2}; \quad (22)$$

$$A4 = \frac{4R}{C_p D}; \quad (23)$$

$$A5 = \frac{R}{C_p}. \quad (24)$$

2.14. При реализации программы расчета газодинамических параметров на ЭВМ на печать выводим значения давления (PP),

температуры (TT) и расхода (GG) газа внутри заполняемого газопровода в дискретных точках-узлах по длине трубопровода во времени (TIME).

Для каждого момента времени (TIME) значения найденных функций P, T и G печатаются построчно (прил.3). Количество выдаваемых на печать точек определяется значением операторов NPX (по координате X) и NP (по времени).

2.15. Размерность выводимых на печать значений:

PP - давление, кгс/см²;

TT - температура, К;

GG - расход, м³/ч;

TIME - время, ч.

2.16. Первое число в строке (см.прил.3), определяющее величину данного параметра (PP), (TT), (GG), соответствует сечению X = 0.

для определения расстояния между следующим сечением, в котором выдаются на печать рассчитанные параметры, и началом заполняемого участка (X = 0) следует воспользоваться формулой

$$\ell = \frac{(n-1) \cdot L}{N-1} \quad NPX, \quad (25)$$

где n - порядковый номер числа в соответствующей строке (PP), (TT), (GG);

L - протяженность участка;

(N-1) - количество интервалов разбиения области интегрирования;

NPX - количество точек (узлов), через которое печатаются рассчитываемые параметры (NPX = 1 - параметры печатаются во всех точках, NPX = 2 - через две, начиная с точки X = 0, и т.д.).

3. АНАЛИТИЧЕСКИЙ МЕТОД РАСЧЕТА ПРОЦЕССА ЗАПОЛНЕНИЯ УЧАСТКА МАГИСТРАЛЬНОГО ТРУБОПРОВОДА ГАЗОМ ДЛЯ ИСПЫТАНИЙ

3.1. Изотермический процесс заполнения замкнутого участка трубопровода постоянного диаметра природным газом до испытательного давления описывает система уравнений (26) - (28), которая вытекает из системы уравнений (1)-(4) при T = const

уравнение неразрывности:

$$\frac{\partial \rho}{\partial t} + \frac{\partial(\rho w)}{\partial x} = 0; \quad (26)$$

уравнение движения:

$$\frac{\partial(\rho w)}{\partial t} + \frac{\partial}{\partial x} (\rho + \rho w^2) = -\rho \frac{\lambda w^2}{2D}; \quad (27)$$

уравнение состояния газа:

$$\rho = \rho c^2. \quad (28)$$

В уравнениях (26) – (28) приняты обозначения:

ρ – средняя по сечению трубы плотность газа, кг/м³;

w – средняя по сечению трубы скорость движения газа, м/с;

p – среднее по сечению трубы давление газа, Н/м²;

λ – коэффициент гидравлического сопротивления;

D – диаметр заполняемого трубопровода, м;

c – скорость звука в газе, м/с.

3.2. Аналитические расчетные формулы получим, приняв для решения системы уравнений (26) – (28) следующие допущения:

пренебрегаем конвективным членом $\frac{\partial(\rho w^2)}{\partial x}$;

пренебрегаем изменением массовой скорости (ρw) во времени, т.е. $\frac{\partial(\rho w)}{\partial t} = 0$;

принимаем коэффициент гидравлического сопротивления постоянным $\lambda = \text{const}$.

3.3. В качестве начальных условий для рассматриваемой системы уравнений принимаем постоянное давление по длине трубопровода

$$P(x, 0) = P_h. \quad (29)$$

3.4. Границные условия, отражающие процесс подъема давления по линейному закону на левом конце трубопровода ($x=0$) и перекрытия правого конца при заполнении газопровода газом, приняты следующими (рис.3):

$$p(0,t) = \begin{cases} p_n + \alpha \cdot t & \text{при } 0 < t < t_0; \\ p_{usc} & \text{при } t \geq t_0; \end{cases} \quad (30)$$

$$\left. \frac{\partial p}{\partial x} \right|_{x=L} = 0, \quad (31)$$

где α - скорость подъема давления во входном сечении заполненного участка трубопровода

$$t_0 = \frac{p_{usc} - p_n}{\alpha c}.$$

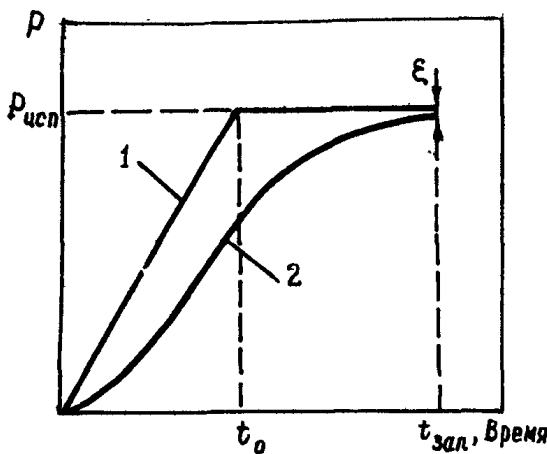


Рис.3. График изменения давления газа (P) при заполнении участка магистрального газопровода газом для испытания:

1 - изменение давления в сечении $x = 0$;
2 - изменение давления в сечении $x = L$

3.5. Изменение давления газа в заполненном трубопроводе подчиняется соотношению, которое было найдено в результате решения линеаризованной системы уравнений (26) – (28) при соответствующих начальных и граничных условиях:

$$p(x,t) = \begin{cases} p_H + \alpha t - \frac{2\alpha}{aL} \sum_{n=0}^{\infty} \frac{\sin(\kappa_n x)}{\kappa_n^3} \left[1 - \exp(-\alpha \kappa_n^2 t) \right] & \text{при } 0 < t < t_0; \\ p_{\text{исп}} - \frac{2\alpha}{aL} \sum_{n=0}^{\infty} \frac{(-1)^n}{\kappa_n^3} \left[\exp(\alpha \kappa_n^2 t_0) - 1 \right] \exp(-\alpha \kappa_n^2 t) & \text{при } t \geq t_0, \end{cases} \quad (32)$$

где $\alpha = \frac{1}{\tilde{\tau}_0 \cdot \kappa_0^2}$; (33)

$$\tilde{\tau}_0 = \frac{2\alpha \lambda L^3}{3\pi^2 c^2 D p_{\text{эфф}}} ; \quad (34)$$

$$\kappa_n = \frac{\pi (2n+1)}{2L} ; \quad (35)$$

$$t_0 = \frac{p_{\text{исп}} - p_H}{\alpha} . \quad (36)$$

$p_{\text{эфф}} = 3,92 \cdot 10^5 \text{ Н/м}^2$ – эффективное давление, значение которого получено из численных расчетов газодинамических параметров при заполнении трубопроводов газом на ЭВМ.

3.6. С достаточной степенью точности для приближенного аналитического описания изменения давления газа внутри заполняемого участка можно ограничиться первым членом разложения ($n = 0$):

$$p(x,t) = \begin{cases} p_H + \alpha t - \frac{2\alpha \sin(\frac{\pi x}{2L})}{aL \kappa_0^2} \left[1 - \exp(-\alpha \kappa_0^2 t) \right] & \text{при } 0 < t < t_0; \\ p_{\text{исп}} - \frac{2\alpha}{aL \kappa_0^3} \left[\exp(\alpha \kappa_0^2 t_0) - 1 \right] \exp(-\alpha \kappa_0^2 t) & \text{при } t \geq t_0. \end{cases} \quad (37)$$

Изменение давления газа в конце заполняемого участка определяем по формуле:

$$P(L, t) = \begin{cases} P_H + \alpha t - \frac{4\alpha \bar{V}_a}{\pi} \left[1 - \exp\left(-\frac{t}{\bar{V}_a}\right) \right] & \text{при } 0 < t < t_o; \\ P_{ucn} - \frac{4\alpha \bar{V}_a}{\pi} \left[\exp\left(\frac{t_o}{\bar{V}_a}\right) - 1 \right] \cdot \exp\left(-\frac{t}{\bar{V}_a}\right) & \text{при } t \geq t_o. \end{cases} \quad (38)$$

3.7. Задаваясь допустимой погрешностью измерения давления в конце трубопровода (ε) (см.рис.3)

$$\varepsilon = P_{ucn} - P(L, t), \quad (39)$$

получаем выражение для времени заполнения данного участка магистрального трубопровода

$$t_{zan} = \frac{2\alpha \lambda L^3}{3\pi^2 c^2 D p_{eff}} \cdot \ln \left\{ \frac{8\alpha^2 \lambda L^3 \left[\exp\left(\frac{3t_o \pi^2 c^2 D p_{eff}}{2\alpha \lambda L^3}\right) - 1 \right]}{3\varepsilon c^2 D \pi^3 p_{eff}} \right\}. \quad (40)$$

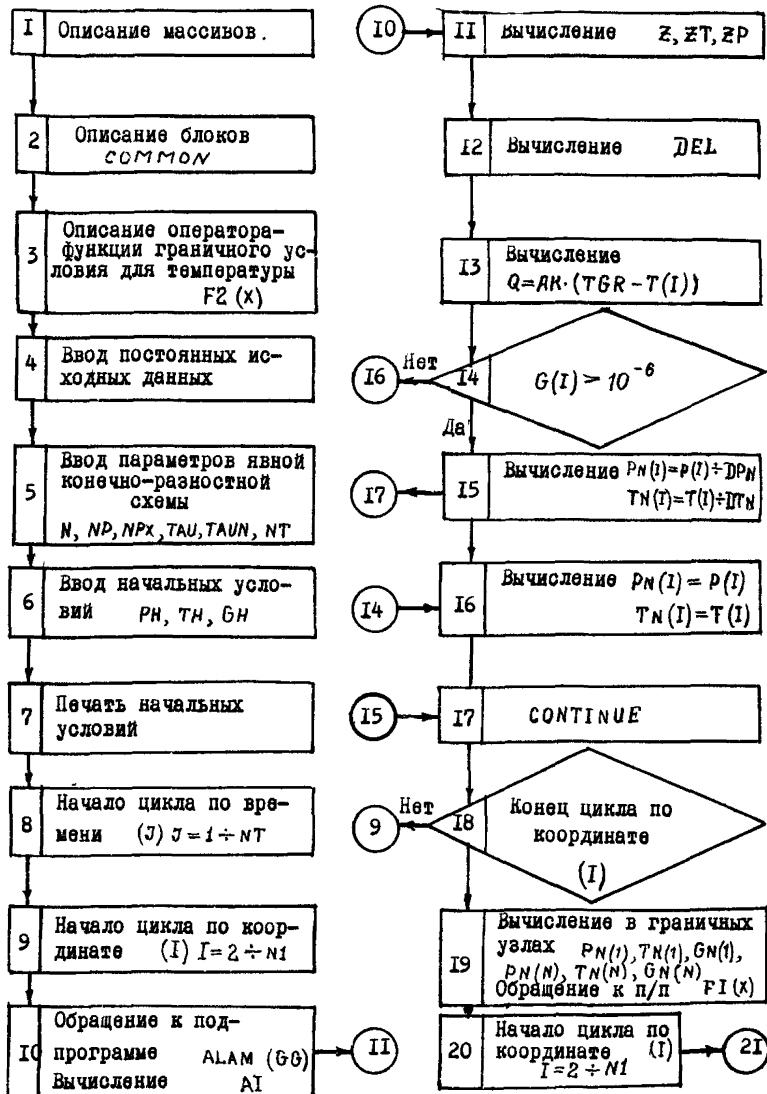
3.8. Пример приближенного аналитического расчета газодинамических параметров в процессе заполнения участка магистрального трубопровода природным газом для испытания приведен в прил.4.

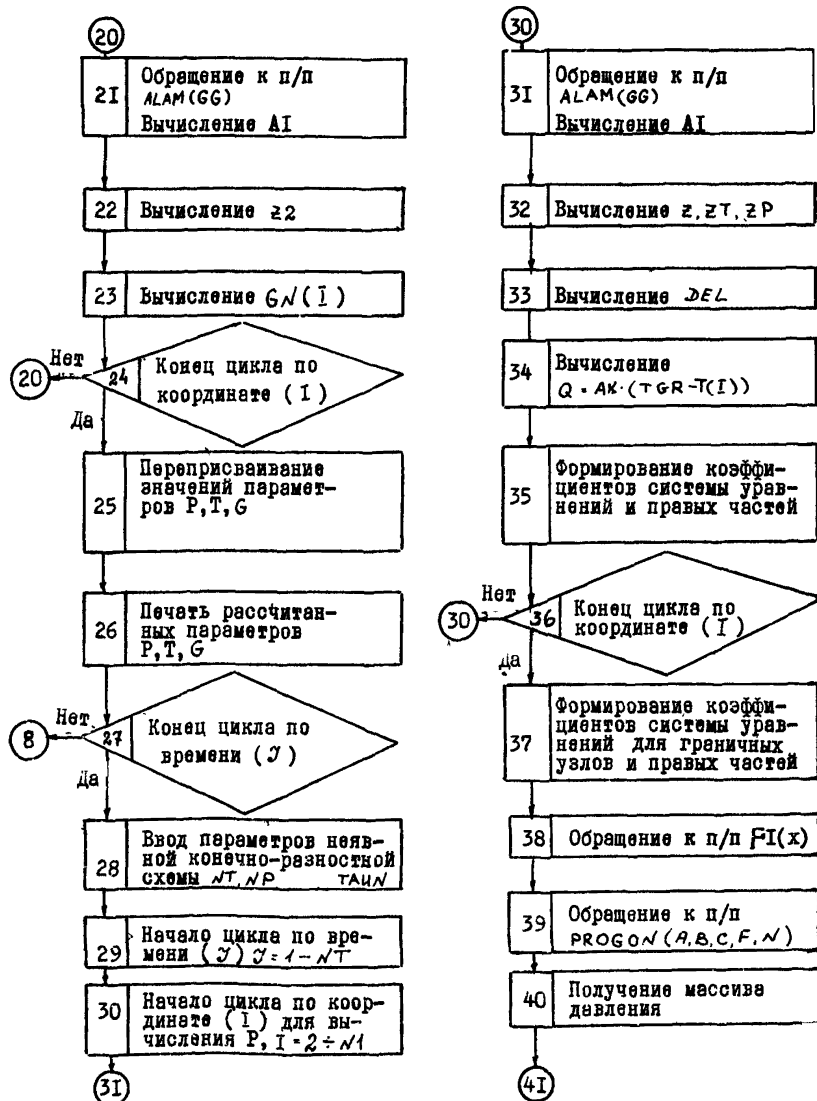
ПРИЛОЖЕНИЯ

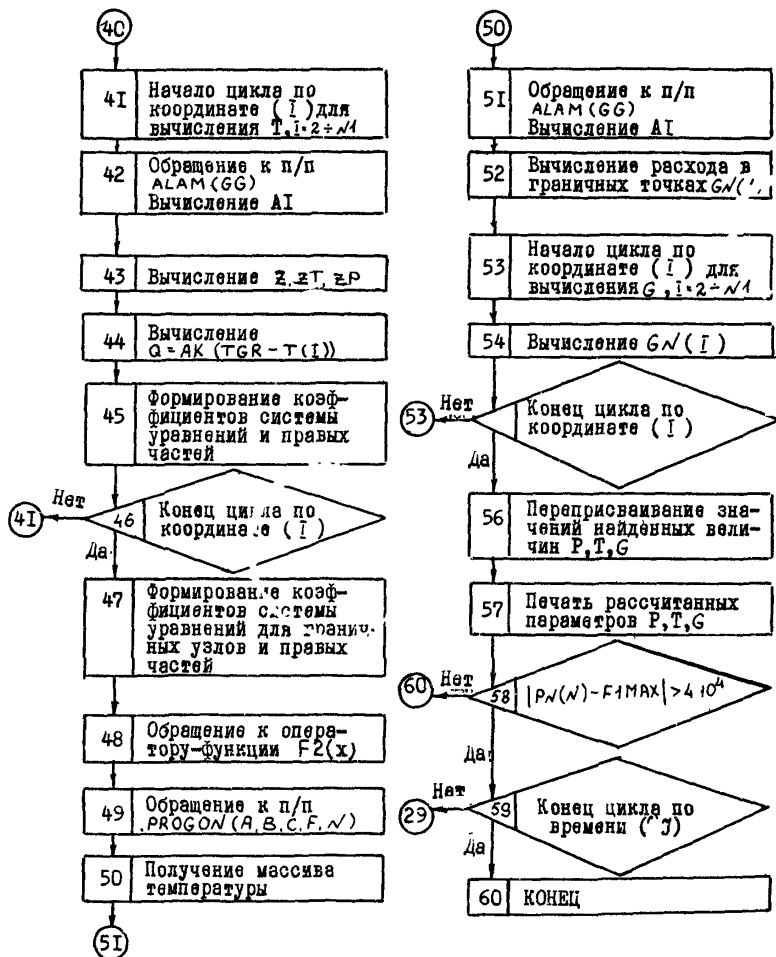
Приложение I

АЛГОРИТМ ПРОГРАММЫ *ASTRA* И ПОДПРОГРАММ *PROGON*, *FI*, *ALAM*.

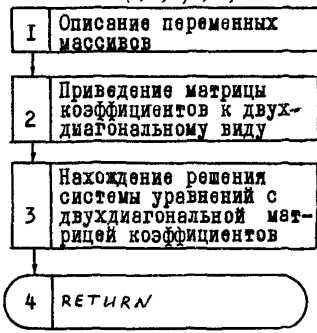
АЛГОРИТМ ПРОГРАММЫ *ASTRA*



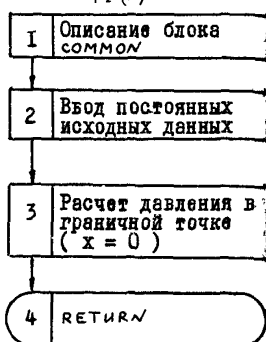




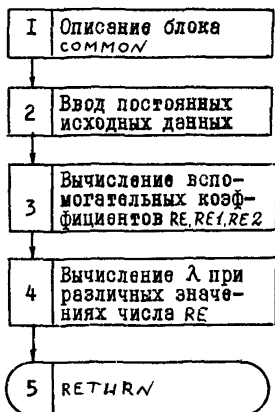
**Алгоритм подпрограммы
PROGON (A, B, C, F, N)**



**Алгоритм подпрограммы
F1 (X)**



**Алгоритм подпрограммы
ALAM (GG)**



Приложение 2

ПРОГРАММА ASTRA НА АЛГОРИТМИЧЕСКОМ ЯЗЫКЕ ФОРТРАН ДЛЯ РАСЧЕТА НА ЭВМ ГАЗОДИНАМИЧЕСКИХ ПАРАМЕТРОВ ПРИ ЗАПОЛНЕНИИ МАГИСТРАЛЬНЫХ ГАЗОПРОВОДОВ ГАЗОМ ДЛЯ ИСПЫТАНИЙ

```
PROGRAM ASTRA
DIMENSION PN(100), TN(100), GN(100), P(100), T(100), G(100)
*, PP(100), TT(100), GG(100), A(100), B(100), C(100), F(100)
*, ALAMN(100),
COMMON /BL/D
COMMON /BL1/F1MAX
COMMON /BL2/TH
COMMON /BL3/PH
COMMON /BL4/ALFF
F2(X)=TCEP_DR*(PCEP_F1(X))
AL=5.E3
D=1.42
ALFF=81.75
F1MAX=809.325E4
PH=9.81E4
PH=19.62E4
TH=275.
GH=0.
TGR=275.
PCEP=833.85E4
TCEP=280
DR=4.08E-6
K=9.31
PC=445.374E4
TC=190.7
N=31
NPX=3
NPX=5
TAU=.01
NP=10000
A1=676.86E-5
A2=1.495E-2*D**2
A3=11.7956/D**2
A4=703/D
A5=.2757
N1=N-1
N=AL/N1
NT=20000
DO 2 I=1,N
P(I)=PH
T(I)=TH
G(I)=GH
2 COMMON
DO 76 III=1,N
PP(III)=P(III)/9.81E4
TT(III)=T(III)
GG(III)=511.8*B(III)
PP(NT)=40
```

```

41 FORMAT (' PP=%')
PRINT 4,(PP(III),III=1,N,NPX)
4 FORMAT (10E12.4)
PRINT 50
51 FORMAT (' TT=%')
PRINT 4,(TT(III),III=1,N,NPX)
PRINT 60
62 FORMAT (' GG=%')
PRINT 4,(GG(III),III=1,N,NPX)
DO 3 J=1,NT
DO 1 I=2,N1
A1=4.342*ALAM(G(I))/D**5
Z=1.+.07*TC**P(I)*(1.-6.*(TC/T(I))**2)/(PC*T(I))
ZT=-.07*TC**P(I)*(1.-6.*(TC/T(I))**2)/(PC*T(I)**2)+.84*TC**3*P(I)/(PC*T(I)**4)
ZP=.07*(TC/PC)*(1./T(I))*(1.-6.*(TC/T(I))**2)
DEL=1.-P(I)*ZD/Z-A5*(Z+T(I)+ZT)**2/2
Q=AK*(TGR-T(I))
IF(ABS(G(I))-1,F-6)9,9,8
8 DPN=TAU/DEL*((P(I-1)**2-2.*P(I)**2+P(I+1)**2)/(2.*A1*G(I)
**H**2)-G(I)*(Z+T(I)+ZT)*(T(I)-T(I-1))/H+G(I)*T(I)+ZG+*(P(I+1)-P(I))/H)/(2.*A2)-(Z+T(I)+ZT)*(A1*A3*G(I)**3*T(I)**3
**Z+ZT/P(I)**2-A4*Q))
PN(I)=P(I)+DPN
DTN=TAU*T(I)/(DEL*P(I))*((A5*(Z+T(I)+ZT)*(P(I-1)**2-2.*P(I)**2+P(I+1)**2)/(2.*A1*G(I)*H**2)+G(I)*(Z+T(I)+ZT)**2
**A5**2*(P(I)+ZP-ZT)*(T(I)-T(I-1))/H+G(I)*T(I)*ZP=A5*(Z+T(I)**2
**ZT)*(P(I+1)-P(I))/H)/(2.*A2)+(P(I)+ZP-ZT)*(A1*A3*G(I)**3*Z
*T(I)**3*Z*ZT/R(I)**2-A4*Q))
TN(I)=T(I)+DTN
GO TO 10
9 DPN=TAU/DEL*(A4*Q*(Z+T(I)+ZT))
PN(I)=P(I)+CPN
DTN=TAU*T(I)/(DEL*P(I))*(A4*Q*(Z-P(I)+ZP))
TN(I)=T(I)+CTN
12 CONTINUE
1 CONTINUE
PN(1)=F1(J*TAU)
TN(1)=F2(J*TAU)
A1=4.342*ALAM(G(1))/D**5
Z=1.+.07*TC**P(1)*(1.-6.*(TC/TN(1))**2)/(PC*TN(1))
GN(1)=SIGN(1.,(3.*PN(1)+PN(3)-4.*PN(2)))*SQRT(ABS(4.*PN(2)
**2-3.*PN(1)**2-PN(3)**2)/(4.*H*A1*Z1*TN(1)))
1 PN(N)=PN(N)
ZN=1.+.07*TC**P(N)*(1.-6.*(TC/T(N))**2)/(PC*T(N))
ZTN=-.07*TC**P(N)*(1.-6.*(TC/T(N))**2)/(PC*T(N)**2)+.84*TC**3*P(N)/(PC*T(N)**4)
Q=AK*(TGR-T(N))
B9=P(N)/(T(N)*A5*(ZN+T(N)*ZTN))
CC=P(N)*(1.-1./A5*(ZN+T(N)*ZTN))-TAU*ZN*A4*QN/
*(A5*(ZN+T(N)*ZTN))
TN(N)=(PN/N)-CC/BB
GN(N)=0.
DO 11 I=2,N1
A1=4.342*ALAM(G(I))/D**5
Z=1.+.07*TC**P(I)*(1.-6.*(TC/TN(I))**2)/(PC*TN(I))
GN(I)=SIGN(1.,(PN(I+1)-PN(I-1)))*SQRT(A4*3*(PN(I+1)**2-

```

```

      *PN(I-1)**2)/(4.*H*A,*Z2*TN(I)))
11  C0N+=NUE
    DO 7 I=1,N
      T(I)=TN(I)
      P(I)=PN(I)
      G(I)=GN(I)
      PP(I)=P(I)/9.8124
      TT(I)=T(I)
7   G(I)=511.8*G(I)
      TIME=TAU+J/3600.
      IF(G(N1),NE.0.)
      GO TO 77
3   CONTINUE
77 CONTINUE
      PRINT 61,TIME
61  FORMAT (' TIME',E10.4)
      PRINT 40
      PRINT 4,(PP(III),III=1,N,NPX)
      PRINT 50
      PRINT 4,(TT(III),III=1,N,NPX)
      PRINT 60
      PRINT 4,(G(III),III=1,N,NPX)
      NT=32000
      NPX=40
      TAU_N=180.
      DO 1# J=1,NT
      DO 101 I=2,N1
      A1=4.*Z62*A1*AM(G(I))/B**5
      Z=1./07*(TC/PC)*(P(I)/T(I))*(1.+6.*TC/T(I))**2
      ZT=1./07*(TC/PC)*(P(I)/T(I)**2)*(1.+6.*Tc/T(I))**2)+4.*84.*(TC**3/PC)*(P(I)/T(I)**4)
      ZP=1./*(TC/PC)*(1./T(I))*(1.-8.*TC/T(I))**2)
      DFL=1.-P(I)*ZP/Z-A5*(Z+T(I)*ZT)**2/Z
      G=AI*T(G(I))
      AK2=EF(I)/Z+A1*A2*G(I)*DFL)
      AK3=(F(I-1)-P(I))/A)**2/12.*A1*A2*G(I))-G(I)*Z+T(I)**2*ZT+*ZT*(I-(I-1))/12.*A2*F+G(I)*T(I)*ZF*(P(I+1)-P(I))/12.*A2*F-(Z+T(I)**2*ZT)*(A1*A3*G(I)**3*T(I)**2*Z*ZT/P(I))**2
      *A7*L/DFL
      AI=1.
      B(I)=H**2/12.*K2*TAUN)+0.
      C(I)=F(I).
      F(I)=H**2+AK3*TAUN+P(I))/AK2*TAUN)
101 C047,NUF
      S(I)=1.
      C(I)=2.
      F(I)=F(I-1)*J)
      A(I)=1.
      H=41.
      F=40.
      C(I)=P0*(C(I)+F(I)*DFL)
      S(I)=F(I)
102 S(I)=F(I)
      J=J+1
      F(I)=J41.*14*(G(I))-H**2

```

```

L=1.+.07*(TC/PC)*(PN(1)/T(1))*(1.-6.*(TC/T(1))**2)
ZT=-.07*(TC/PC)*(PN(1)/T(1)**2)*(1.-6.*(TC/T(1))**2)+.
+.34*(TC**3/PC)*(PN(1)**2/T(1)**4)
ZD=.07*(TC/PC)*(1./T(1))*(1.-6.*TC/T(1))**2)
G=AK*/(TCR-T(1))
AK4=1A5*(Z-T(1)*ZT+*PN(1-1)**2-2.*PN(1)**2+PN(1+1)**2+.
+*(2.+A1*A2*G(1)*H**2)+G(1)*T(1)*ZP*(Z+T(1)+ZT)*A5*(FH-1)+.
+*PN(1-1)**2.+A2*H)+1A1*A3*G(1)**3*T(1)**3*Z*ZT/PN(1)**2-A1+.
+(PN(1-1)*ZP-Z)*T(1).-PN(1)*ZP/Z-A5*(Z+T(1)+ZT)*A5*.
AK5=(Z+T(1)*ZT)*G(1-1)*A5+2.*PN(1)*ZP-Z)*T(1)*G(1-1)*A5*.
+PN(1)*T(1)*ZP/Z-A5*(Z+T(1)+ZT)**2/Z))
A1=-1.
B(1)=1.-H/AK5*T(1)
C(1)=0.
F(1)=-(AK4+TA1*N+T(1)**H/(A5*T(1)))
103 CONTINUE
B(1)=1.
C(1)=0.
F(1)=H2*(T+1*N*)
A1=-1.
B1=-1.
F1=-1.
CALCULATE PROTON(A,B,C,F,P)
C1,24 I=1 A
104 TN:=F+1
A1=4.342*A*AM(G(1))/D**5
Z1=1.+.74*TC/PC)*(PN(1)/TN(1))+1.-6.*15/TN**2+.
GN(1)=S1*(1.+(3*PN(1)+PN(3)-4.*PN(2))/)+SQRT(ABS(4.*P+.
**2-3.*P+1)**2-1**2)/4.*H*A1*Z1*T(1))
D1=15/2.**1
Z2=1.+1.***(TC/PC)*(1.-N(1),TN(1))+1.-6.*15*G(TN(1))**2*.
GN(1)*S1*G4*(1.+(1+1)-PN(1-1))/SQRT(ABS(4.*N(1+1)**2*.
PN(1-1)**2),1.+(1+1)*Z2*T(1)))
105 CONTINUE
D0=106 I=1.
T(I)=TN(I)
P(I)=PN(I)
G(I)=GN(I)
PP(I)=P(I)/C(I)
TT(I)=T(I)
106 G(I)=G(I)+51.
TIME=7*T(1)*P+TA1*N
JJJ,J/NP
IF((JJJ*NP,NE,J)
0 15
-RT1,T 61*T1**2
RT1,T 40
-RT1,T 4,(P1(III)+,III=1,N,N-X)
-RT1,T 51
-RT1,T 4,(TT(III),III=1,N,NPX)
-RT1,T 60
-RT1,T 4,(G,(III),III=1,N,NPX)
IF(ABS(PN(4)-F1MAX).LT.,4.E4)
15 -CONTINUE
16 CONTINUE
STOP
END

```

```

SUBROUTINE PRGCON(A,B,C,F,N)
DIMENSION A(1),C(1),F(1),N
N=1
DO 1 I=1,N
C(I)=C(I)/F(I)
F(I)=F(I)/F(I)
F(I+1)=C(I+1)-(C(I)*A(I+1))
F(I+1)=F(I+1)-F(I)*A(I+1)
F(I)=F(I)*F(I)
10 I=I+1
F(I)=F(N-1)+(N-1)*F(N-1+1)
C=N
END

```

```

FUNCTION ALAM(G)
C=1.0/D
G=1.0
IF (G.LT.1.0E-15) G=1.0E-6
AK=3.0E-5
RE=1.0590E-6/D
RE1=59.5E-2.*AK/D)**18./7.
RE2=(65.65E-65.*ALOG10(2.*AK/D))/((2.*AK/D)
ALAM=64./RE
IF (RE.GT.2.0E0.) ALAM=.282E*RE**11./3.0
IF (RE.GT.1.0E0.) ALAM=.3164/RE**.25
IF (RE.GT.RE1) ALAM=.1*1.45*AK/D+17./RE**.25
IF (RE.GT.RE2) ALAM=.111*(AK/D)**.25
RETURN
END

```

```

FUNCTION F1(X)
COMMON /BL1/F1MAX
COMMON /BL2/ALFF
COMMON /BL3/BL
F1=A
A=1.0+ALFF*X
IF (A.GT. F1MAX) F1=F1MAX
RETURN
END

```

Приложение 3

ПРИМЕР РАСЧЕТА ГАЗОДИНАМИЧЕСКИХ ПАРАМЕТРОВ ПРИ ЗАПОЛНЕНИИ МАГИСТРАЛЬНОГО ГАЗОПРОВОДА ГАЗОМ ДЛЯ ИСПЫТАНИЙ

Необходимо найти время заполнения и изменение газодинамических параметров (давления, температуры и расхода) в процессе заполнения участка магистрального газопровода.

Исходные параметры:

$L = 500$ км - длина участка газопровода;

$D = 1400$ мм - диаметр газопровода;

$p_{usn} = 80,9 \cdot 10^5$ Н/м² - испытательное давление.

$p_n = 19,6 \cdot 10^4$ Н/м² - начальное давление;

$T_n = T_{rp} = 275$ К - начальная температура.

$p_{cen} = 83,38 \cdot 10^5$ Н/м² - давление;

$T_{cen} = 290$ К - температура;

$\lambda = 81,75$ Н/м²·с - скорость подъема газа в сечении $x = 0$.

Решение

Описанные выше характеристики газопровода и условия заполнения даны в программе (см. прил.2). Приведем распечатку результатов расчета и графики изменения газодинамических параметров во времени в различных сечениях газопровода (рис.4-7).

Распечатка результатов примера расчета газодинамических параметров

```

PP=
 2.00000+00  2.00000+00  2.00000+00  2.00000+00  2.00000+00  2.00000+00  2.00000+00
TT=
 2.75000+02  2.75000+02  2.75000+02  2.75000+02  2.75000+02  2.75000+02  2.75000+02
GG=
 0.00000+00  0.00000+00  0.00000+00  0.00000+00  0.00000+00  0.00000+00  0.00000+00
TIME= 2.55000+03
PP=
 2.00760+00  2.00000+00  2.00000+00  2.00000+00  2.00000+00  2.00000+00  2.00000+00
TT=
 2.46780+02  2.75000+02  2.75000+02  2.75000+02  2.75000+02  2.75000+02  2.75000+02
GG=
 3.50960+04  0.7312+02  1.7612+02  3.8272+01  3.9300+00  2.2257-01  0.0000+00
TIME= 4.00250+00
PP=
 1.3815+01  0.6464+00  0.9375+00  2.9383+01  2.5312+00  2.3060+00  2.3724+00
TT=
 2.51080+02  2.8564+02  2.7948+02  2.7675+02  2.7585+02  2.7559+02  2.7555+02
GG=
 1.62080+03  1.5880+05  3.3833+03  1.8500+05  1.0725+03  5.5251+04  0.0000+00
TIME= 8.00250+00
PP=
 2.5850+01  1.3040+01  2.7725+01  4.3305+00  4.2746+00  3.8637+00  3.7931+00
TT=
 2.5630+02  1.9040+02  2.8470+02  2.7908+02  2.7724+02  2.7658+02  2.7646+02
GG=
 2.7602+00  1.5540+00  7.4630+05  3.9577+05  2.3586+05  1.2189+05  0.0000+00
TIME= 1.20030+01
PP=
 3.7850+01  1.2467+01  1.3271+01  6.2065+00  7.5244+00  6.9001+00  6.7906+00
TT=
 2.6110+02  1.9102+02  2.9046+02  2.8180+02  2.7883+02  2.7796+02  2.7779+02
GG=
 3.8051+06  2.3257+06  1.2358+06  6.7560+05  3.8314+05  2.0308+05  0.0000+00

```

TIME= 1.6003+01
 PP=
 4.9850+01 1.7914+01 2.6479+01 1.4005+01 1.2665+01 1.1884+01 1.1753+01
 TT= 2.6590+02 1.9204+02 2.9420+02 2.8533+02 2.8085+02 2.7967+02 2.7947+02
 GG= 4.7424+06 1.0440+06 1.7572+0 1.0110+06 5.8104+05 2.9234+05 0.0000+00
 TIME= 2.0003+01
 PP=
 4.1850+01 4.2175+01 2.9316+0 2.2753+01 1.9922+01 1.8973+01 1.8831+01
 TT= 2.7079+02 1.9326+02 2.9656+0 2.8843+02 2.8337+02 2.8169+02 2.8148+02
 GG= 5.5756+05 3.6944+06 2.2726+0 1.3750+06 8.1265+05 3.8564+05 0.0000+00
 TIME= 2.4003+01
 PP= .
 7.3850+01 3.1310+03 3.9552+0 3.2308+01 2.9127+01 2.8057+01 2.7911+01
 TT= 2.7560+02 1.9564+02 2.9851+0 2.9202+02 2.8600+02 2.8396+02 2.8372+02
 GG= 6.2932+06 4.2474+06 2.7567+0 1.7329+06 1.0460+06 4.9161+05 0.0000+00
 TIME= 2.8003+01
 PP=
 8.2500+01 6.3644+01 6.0416+0 6.3090+01 3.9757+01 3.8626+01 3.8476+01
 TT= 2.7900+02 1.9435+02 2.9996+0 2.9465+02 2.8862+02 2.8620+02 2.8569+02
 GG= 6.2333+05 4.5825+06 3.1247+0 2.0448+06 1.2575+06 6.0302+05 0.0000+00
 TIME= 3.2003+01
 PP=
 6.2000+01 6.0250+01 5.9386+0 5.3459+01 5.0572+01 4.9582+01 4.9452+01
 TT= 2.7000+02 1.8850+02 2.9348+0 2.9349+02 2.8977+02 2.8760+02 2.8729+02
 GG= 5.1024+06 4.1251+06 3.0551+0 2.1161+06 1.3330+06 6.4100+05 0.0000+00

$T_{1,F} = 3.6003 \times 10^1$
 $PP =$
 $4,2500 \times 01$ $1,381 \times 1$ $0,6661 \times 1$ $1,2347 \times 01$ $6,0171 \times 01$ $5,9401 \times 01$ $5,9299 \times 01$
 $TT =$
 $2,7000 \times 02$ $1,853 \times 2$ $2,8906 \times 2$ $2,9040 \times 02$ $2,8905 \times 02$ $2,8774 \times 02$ $2,8749 \times 02$
 $GG =$
 $4,2621 \times 00$ $1,5611 \times 0$ $1,7642 \times 0$ $1,9004 \times 00$ $1,2897 \times 00$ $6,2564 \times 05$ $0,0000 \times 00$
 $T_{1,E} = 4.0003 \times 10^1$
 $PP =$
 $4,2500 \times 01$ $1,673 \times 1$ $1,2258 \times 1$ $0,9345 \times 01$ $6,7826 \times 01$ $6,7274 \times 01$ $6,7200 \times 01$
 $TT =$
 $2,7000 \times 02$ $1,824 \times 2$ $2,6632 \times 2$ $2,8712 \times 02$ $2,8747 \times 02$ $2,8684 \times 02$ $2,8666 \times 02$
 $GG =$
 $3,4538 \times 00$ $1,9493 \times 06$ $2,3790 \times$ $1,7691 \times 06$ $1,1644 \times 06$ $5,7179 \times 05$ $0,0000 \times 00$
 $T_{1,F} = 4.4003 \times 10^1$
 $PP =$
 $4,2500 \times 01$ $1,011 \times 01$ $7,6266 \times 1$ $1,4435 \times 01$ $7,3401 \times 01$ $7,3106 \times 01$ $7,3056 \times 01$
 $TT =$
 $2,7000 \times 02$ $1,806 \times 02$ $2,8356 \times 0$ $2,8514 \times 02$ $2,8554 \times 02$ $2,8534 \times 02$ $2,8525 \times 02$
 $GG =$
 $2,6448 \times 16$ $1,3464 \times 16$ $1,9444 \times 0$ $1,4717 \times 06$ $9,8211 \times 01$ $4,7737 \times 05$ $0,0000 \times 00$
 $T_{1,E} = 4.5003 \times 10^1$
 $PP =$
 $4,2500 \times 01$ $3,042 \times 01$ $7,0957 \times 1$ $7,7888 \times 01$ $7,7310 \times 01$ $7,7098 \times 01$ $7,7066 \times 01$
 $TT =$
 $2,7000 \times 02$ $1,704 \times 2$ $2,8132 \times 2$ $2,8200 \times 02$ $2,8344 \times 02$ $2,8347 \times 02$ $2,8343 \times 02$
 $GG =$
 $1,9921 \times 70$ $1,7886 \times 76$ $1,5110 \times 60$ $1,1675 \times 06$ $7,8384 \times 05$ $3,8720 \times 05$ $0,0000 \times 00$
 $T_{1,E} = 5.2003 \times 10^1$
 $PP =$
 $4,2500 \times 01$ $1,1454 \times 01$ $6,0620 \times 01$ $6,0058 \times 01$ $7,9742 \times 01$ $7,9624 \times 01$ $7,9605 \times 01$
 $TT =$
 $2,7000 \times 02$ $2,7932 \times 02$ $2,7953 \times 02$ $2,8075 \times 02$ $2,8138 \times 02$ $2,8153 \times 02$ $2,8152 \times 02$
 $GG =$
 $1,4447 \times 06$ $1,3052 \times 06$ $1,2308 \times 0$ $8,7446 \times 05$ $5,9265 \times 05$ $3,0602 \times 05$ $0,0000 \times 00$
 W_3

II₁F = 5.6003+01

PP =

6.2500+01 8.1991+01 8.1598+ 1 8.1323+01 8.1171+01 8.1110+01 8.1099+01

TT =

2.7940+02 2.7741+02 2.78+3+ -2 2.7905+02 2.7907+02 2.7974+02 2.7976+02

GG =

1.0122+06 1.0209+05 7.7768+15 6.1253+05 4.1341+05 2.3170+05 0.0000+00

II₁E = 6.3003+01

PP =

6.2500+01 8.2249+01 8.2113+ 1 8.1997+01 8.1926+01 8.1897+01 8.1891+01

TT =

2.7940+02 2.7669+02 2.7708+ -2 2.7773+02 2.7812+02 2.7825+02 2.7826+02

GG =

6.7945+05 6.8475+05 5.0366+05 3.9811+05 2.9236+05 1.6604+05 0.0000+00

II₁E = 6.3003+01

PP =

6.2500+01 8.2363+01 8.2260+ 1 8.2145+01 8.2134+01 8.2117+01 8.2113+01

TT =

2.7940+02 2.7659+02 2.7607+1 2.7719+02 2.7751+02 2.7762+02 2.7763+02

GG =

5.3047+05 4.5406+05 3.9363+ 5 3.2654+05 2.4022+05 1.3656+05 0.0000+00

$P, 10^5 H_i' M^2$

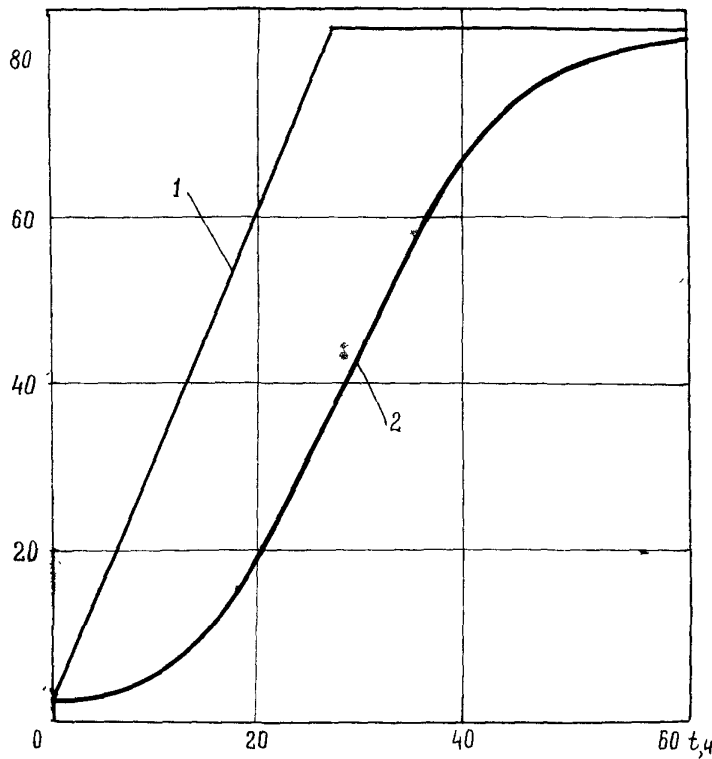


Рис.4. Изменение давления газа (P) во времени (t) в начале (1) и конце (2) заполняемого газопровода

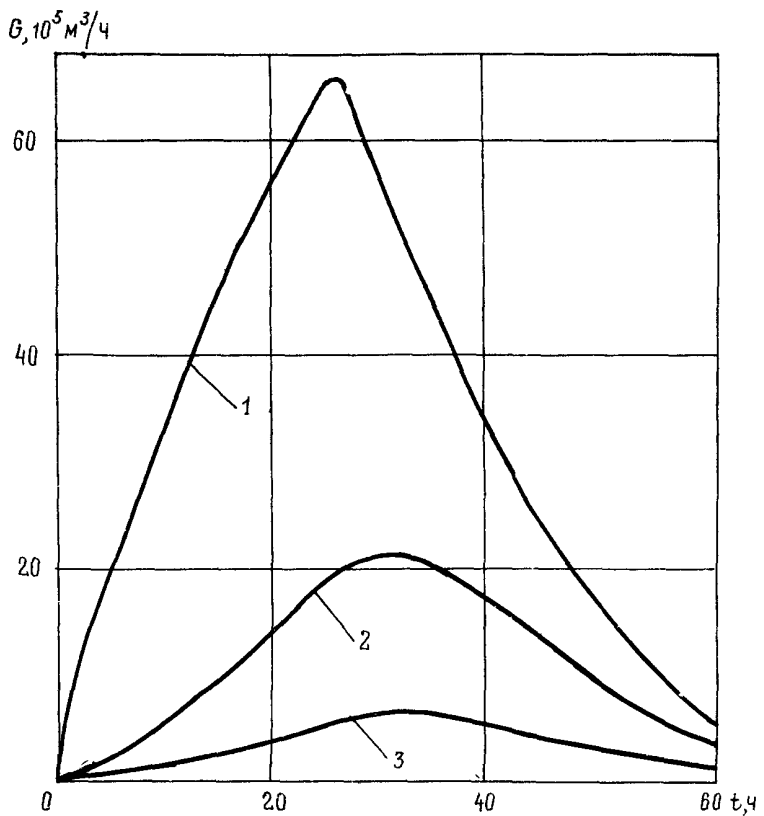


Рис.5. Изменение расхода газа (G) по времени (t) в различных сечениях газопровода:
 I - 0 км; 2 - 250 км; 3 - 416 км

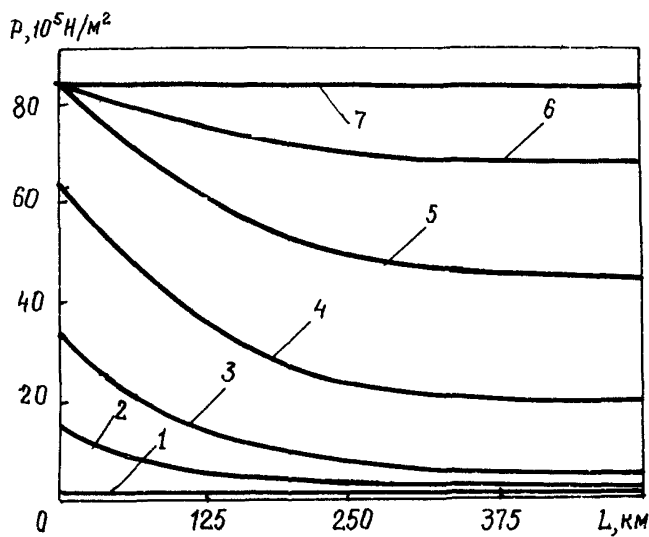


Рис.6. Распределение давления газа (Р) по длине газопровода (L) в различные моменты времени:
 1 - 0 ч; 2 - 4 ч; 3 - 10 ч; 4 - 20 ч; 5 - 30 ч;
 6 - 40 ч; 7 - 60 ч

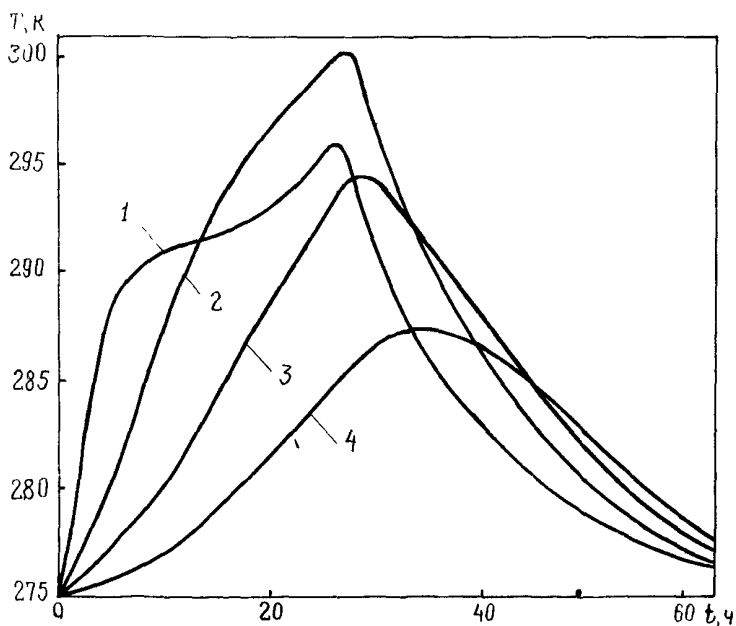


Рис.7. Изменение температуры газа (T) во времени (t) в различных сечениях газопровода:
 1 - 80 км; 2 - 160 км; 3 - 250 км; 4 - 500 км

Приложение 4

ПРИМЕРЫ ПРИБЛИЖЕННОГО АНАЛИТИЧЕСКОГО РАСЧЕТА ГАЗОДИНАМИЧЕСКИХ ПАРАМЕТРОВ В ПРОЦЕССЕ ЗАПОЛ- НЕНИЯ МАГИСТРАЛЬНОГО ГАЗОПРОВОДА ПРИРОДНЫМ ГАЗОМ ДЛЯ ИСПЫТАНИЙ

Пример I.

Необходимо найти время заполнения участка трубопровода газом, изменение давления газа внутри заполняемого участка во времени (в данном примере принимается, что замеры давления производятся в сечениях $x = 0$ и $x = 200$ км).

Исходные параметры:

$L = 200$ км - длина участка газопровода;

$D = 1400$ мм - диаметр газопровода;

$P_{ исп } = 80,9 \cdot 10^5$ Н/м² - испытательное давление;

$P_n = 0,98 \cdot 10^5$ Н/м² - начальное давление газа в газопро-
воде;

$\alpha = 81,75$ Н/м²·с - скорость подъема давления во вход-
ном сечении заполняемого участка;

$c = 450$ м/с - скорость звука в метане;

$\lambda = 0,02$ - коэффициент гидравлического сопротивления.

Решение

Примем следующую последовательность расчета.

I. Задаем величину допустимой погрешности измерения дав-
ления манометрами с классом точности I,5 по формуле (39):

$$\xi = 0,005 \cdot P_{ исп } = 80,9 \cdot 10^5 \cdot 0,005 = 0,4 \cdot 10^5 \text{ Н/м}^2.$$

2. По формуле (40) определяем время заполнения данного участка газопровода природным газом до испытательного давле-
ния:

$$t_{ зап } = \frac{2 \cdot 81,75 \cdot 0,02 \cdot (2 \cdot 10^5)^3}{3 \cdot (3,14)^2 \cdot (450)^2 \cdot 1,4 \cdot 3,92 \cdot 10^5} x$$

$$x \ln \left\{ \frac{8 \cdot (81,75)^2 \cdot 0,02 \cdot (2 \cdot 10^5)^3 \cdot \left[\exp \left(\frac{3 \cdot 79,92 \cdot 10^5 \cdot (3,14)^2 \cdot 450^2 \cdot 1,4 \cdot 3,92 \cdot 10^5}{2 \cdot (81,75)^2 \cdot 0,02 \cdot (2 \cdot 10^5)^3} \right) - 1 \right]}{3 \cdot 0,4 \cdot 10^5 \cdot (450)^2 \cdot 1,4 \cdot 3,92 \cdot 10^5 \cdot (3,14)^3} \right\} = 334.$$

3. Определяем T_0 и t_0 из соотношений (34) и (36):

$$T_0 = \frac{2 \cdot 81,75 \cdot 0,02 \cdot (2 \cdot 10^5)^3}{3 \cdot (3,14)^2 \cdot (450)^2 \cdot 1,4 \cdot 3,92 \cdot 10^5} = 2,2 \text{ ч},$$

$$t_0 = \frac{80,9 \cdot 10^5 - 0,98 \cdot 10^5}{81,75 \cdot 3600} = 27,1 \text{ ч}.$$

4. По формулам (30) и (38) находим изменение давления газа в начале и конце заполняемого участка. Результаты расчетов приведены в табл.2.

Таблица 2

Время, ч	Изменение давления газа внутри заполняемого газопровода (10^5 Н/м^2) в различных сечениях	
	давление газа на 0 км	давление газа на 200 км
0	0,98	0,98
2	6,86	1,76
4	12,75	5,69
8	24,52	16,48
16	48,06	39,92
24	71,61	63,47
28	79,95	76,91
30	80,93	78,77
33	80,93	80,54

Таким образом, в результате расчетов получаем величину времени заполнения ($t_{\text{зап}}$) и характер изменения давления газа внутри заполняемого участка.

Пример 2.

Необходимо в сечениях $x = 0$, $x = 150$ км, $x = 300$ км найти давление как функцию времени.

Исходные параметры:

$$L = 300 \text{ км};$$

$$D = 1400 \text{ мм};$$

$$\begin{aligned}
 p_{ucn} &= 80,9 \cdot 10^5 \text{ Н/м}^2; \\
 \alpha &= 54,5 \text{ Н/м}^2 \cdot \text{с}; \\
 p_h &= 0,98 \cdot 10^5 \text{ Н/м}^2; \\
 c &= 450 \text{ м/с}; \\
 \lambda &= 0,02.
 \end{aligned}$$

Решение

1. По формуле (39) находим ξ :

$$\xi = 0,005 \cdot p_{исп} = 0,4 \cdot 10^{-5} \text{ Н/м}^2.$$

2. По формуле (40) находим $t_{зак}$:

$$t_{зак} = 57 \text{ ч.}$$

3. По формулам (34) и (36) определяем τ_0 и t_0 :

$$\tau_0 = 4,9 \text{ ч, } t_0 = 40,75 \text{ ч.}$$

4. Величину давления газа внутри газопровода по времени находим по формуле (30) в сечении $x = 0$, по формуле (37) в сечении $x = \frac{1}{2} L = 150$ км, по формуле (38) в сечении $x = L = 300$ км. Результаты расчетов приведены в табл.3.

Таблица 3

Время, ч	Изменение давления газа внутри заполненного газопровода (10^5 Н/м^2) в различных сечениях		
	на 0 км	на 150 км	на 300 км
0	0,98	0,98	0,98
4	8,83	4,02	1,96
8	16,67	9,71	6,77
12	24,52	16,58	13,34
16	32,37	24,03	20,6
20	40,22	31,68	28,15
24	+8,07	39,43	35,9
28	55,92	47,28	43,65
32	63,76	55,13	51,5
36	71,61	62,98	59,35
40	79,46	70,83	67,2
44	80,93	73,87	73,87
48	80,93	77,5	77,5
52	80,93	78,67	78,67
57	80,93	80,54	80,54

В результате расчетов получены величины времени заполнения и давлений газа внутри газопровода в процессе заполнения.

ЛИТЕРАТУРА

1. Бобровский С.А., Щербаков С.Г., Яковлев Е.И. Трубопроводный транспорт газа. М., "Наука", 1976.
2. Васильев О.Ф., Бондарев Э.А., Воеводин А.Ф., Каниболовский М.А. Неизотермическое течение газа в трубах. Новосибирск, "Наука", 1978.
3. Климовский Е.М. Очистка полости и испытание магистральных и промысловых трубопроводов. М., "Недра", 1972.
4. Рихтмайер Р.Д., Мортон К. Разностные методы решения краевых задач. М., "Мир", 1972.
5. Строительные нормы и правила. Магистральные трубопроводы. Правила производства и приемки работ. СНиП II-Д.10-72. М., Стройиздат, 1972.
6. Тихонов А.Н., Самарский А.А. Уравнения математической физики. М., "Наука", 1972.
7. Ходанович И.Е., Кривошein Б.Л., Бикчентай Р.Н. Тепловые режимы магистральных газопроводов. М., "Недра", 1971.
8. Чарин И.А. Основы газовой динамики. М., Гостехиздат, 1961.

СОДЕРЖАНИЕ

1. Общие положения	3
2. Методика расчета газодинамических параметров при заполнении магистральных газопроводов газом для испытаний	4
3. Аналитический метод расчета процесса заполнения участка магистрального трубопровода газом для испытаний	13
Приложения	19
Литература	42

Руководство
по расчету основных параметров заполнения
газопроводов газом для испытания

Р 401-80

Издание ВНИИСТА

Редактор Т.Я.Разумовская

Корректор Г.Ф.Меликова

Технический редактор Т.В.Берешева

Л- 78647 Подписано в печать 6/У 1981 г. Формат 60x84/16
Печ.л. 2,75 Уч.-изд.л. 2,2 Бум.л. 1,375
Тираж 900 экз. Цена 22 к. Заказ 59

Ротапринт ВНИИСТА

О П Е Ч А Т К А

Стр.	Пункт	Напечатано	Должно быть
3	I.I	СНиП III-Д.10-72	СНиП III-42-80